

## АНОМАЛЬНАЯ ДИССИПАЦИЯ ЭНЕРГИИ СВЧ ВОЛНЫ В БЕССТОЛКНОВИТЕЛЬНОЙ ПЛАЗМЕ

*К.Ф. Сергеичев, В.Е. Трофимов*

В ряде экспериментальных работ [1 – 3], появившихся в последние годы, исследовались различные аспекты аномального взаимодействия СВЧ волн с бесстолкновительной плазмой: нагрев электронной компоненты [1], поглощение энергии СВЧ волн в плазме [2], распад ограниченной плазмы [3]. Общим свойством перечисленных явлений было то, что частота кулоновских столкновений электронов с ионами  $\nu_e \sim 10^5 - 10^6 \text{ сек}^{-1}$  была на 3 + 4 порядка ниже некоторой эффективной частоты столкновений  $\nu_{\text{эфф}}$ , необходимой для того, чтобы вызвать наблюдавшиеся диссипативные эффекты. Теоретические исследования неустойчивости плазмы в СВЧ поле [4 – 7] позволяют предполагать, что аномальное увеличение диссипации СВЧ энергии связано с возникновением параметрической неустойчивости плазмы. В [3], где проводились измерения порогового значения напряженности электрического поля волны при аномальном распаде в зависимости от концентрации плазмы, было получено качественное согласие с теорией [5]: пороговая напряженность снижалась на 2 + 3 порядка по мере приближения концентрации электронов плазмы  $n$  к критическому значению  $n_c$ , определяемому равенством ленгмюровской частоты электронов и круговой частоты внешнего поля:  $\omega_{Le} = \omega_c$ .

В настоящей работе ставилась задача одновременно исследовать эффекты поглощения волн и нагрева электронов для однородного плазменного слоя.

Эксперимент проводился с однородным по концентрации потоком плазмы [3], пересекающим прямоугольный волновод перпендикулярно широкой стенке с направленной скоростью ионов в  $10^7 \text{ см/сек}$ . Для этого одна из широких стенок волновода на длине 15 см заменялась проводящей сеткой. Волновод возбуждался в 10-см диапазоне на волне типа  $H_{10}$ , у которой направление силовых линий электрического поля совпадало с направлением движения потока плазмы через волновод. Как известно, напряженность электрического поля меняется только вдоль широкой стенки волновода:  $E(x) = E_c \cos(\pi x/a)$  ( $a$  – размер широкой стенки). Отсечка распространения волны в волноводе, заполненном плазмой, начиналась при концентрации  $n = 0,6 n_c$  (при отсутствии аномальной диссипации). Сразу же отметим, что концентрация ионов в потоке плазмы не изменялась даже при условии высокого уровня аномальной диссипации СВЧ энергии в плазме. Отсутствие аномального распада в данных условиях объяснено ниже. Продолжительность импульса СВЧ мощности составляет  $3 \cdot 10^{-6} \text{ сек}$ . При этом стационарная картина аномальной диссипации устанавливалась за время  $\Delta t \sim 10^{-7} \text{ сек}$ .

Зависимость измеренного коэффициента отражения  $|R|^2$  волны с малой напряженностью  $E_c \sim 1 \text{ кв/см}$  от плазмы с различной концентрацией соответствует расчетной для плазмы без столкновений (рис. 1, б – 0). Очевидно, что коэффициент поглощения  $|D|^2$  при этом равен нулю. С ростом напряженности до  $E_c = 0,7 \text{ кв/см}$  и выше, зависимость  $|R|^2$  от

$D$  становилась более слабой, но вместе с тем в плазме возникало сильное поглощение  $|D|^2 \rightarrow 1$ .

Поглощение при больших значениях  $E_o$  начиналось с более низких концентраций (ср. кривые 1 – 4 рис. 1, а). В случае, соответствующем

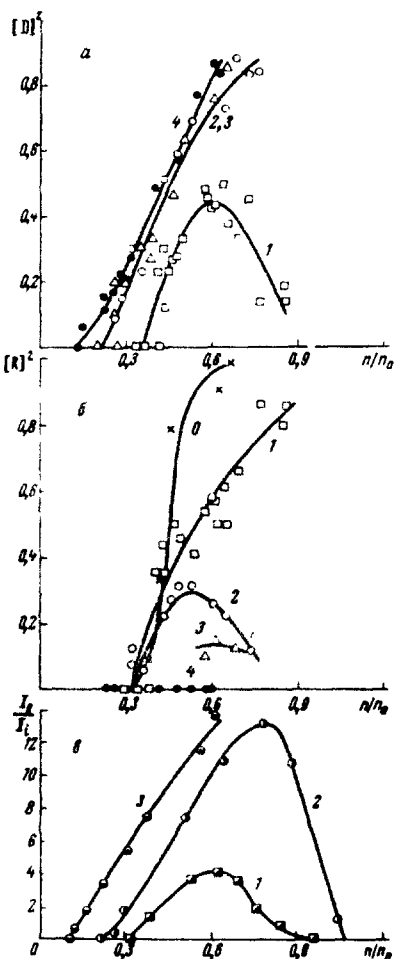


Рис. 1. Зависимость коэффициентов поглощения  $|D|^2$ , отражения  $|R|^2$  и относительной плотности тока ускоренных электронов  $I_e / I_i$  от величины относительной концентрации плазмы  $n/n_0$ . Порядковым номером кривых рис. 1, а и 1, б соответствуют следующие значения  $E_o$ : 0 – 3,6 см; 1 – 0,7 кв/см; 2 – 3,1 кв/см; 3 – 4,2 кв/см; 4 – 7 кв/см. Кривые на рис. 1, а снимались при следующих значениях потенциала коллектора зонда  $U_k$  и напряженности поля  $E$ : 1 –  $U_k = -0,7$  кв;  $E_o = 2,2$  кв/см; 2 –  $U_k = -0,7$  кв;  $E_o = 3,1$  кв/см; 3 –  $U_k = -2,0$  кв;  $E_o = 7,0$  кв/см

кривым 1 рис. 1, а, б, диссипация была еще относительно слабой и уменьшение объема взаимодействия плазмы с СВЧ полем, вызванное экранировкой поля при  $n \geq 0,6 n_0$ , приводило к уменьшению поглощения с ростом  $n$ . При больших значениях  $E_o$  происходило уже практически полное поглощение СВЧ энергии. В случае  $E_o = 7$  кв/см (рис. 1, а, б – 4) в пределах ошибок измерения отражение отсутствовало при любой концентрации. Немонотонное поведение коэффициента отражения  $|R|^2$  с ростом концентрации (рис. 1б – 2, 3) можно объяснить лишь резким возрастанием поглощения при  $n \geq 0,5 n_0$ .

Измерения показали, что одновременно с поглощением энергии СВЧ волны происходит "нагрев" электронов плазменного потока. Сравним найденные зависимости  $|D|^2$  и  $|R|^2$  от  $n/n_0$  с зависимостью плотности тока ускоренных в плазме электронов, направленного вдоль силовых линий электрического поля волны, нормированной к плотности ионного то-

ка плазмы (в том же направлении):  $I_e/I_i = f(n/n_0)$  (рис. 1, а). В отсутствие СВЧ поля электронный ток насыщения давал отношение  $I_e/I_i \sim 5$ . При измерении зависимости  $I_e/I_i$  от  $n/n_0$  к коллектору зонда прикладывался отрицательный потенциал  $U_k$  для того, чтобы запереть вторичные электроны из стенок волновода с энергией  $W_{\text{вз}} < 2e^2E_0^2/m\omega_0^2$ .

По измерениям энергии электронов с помощью многосеточного зонда средние значения энергии ускоренных электронов  $W_3$  при  $E_0 = 7 \text{ кВ/см}$  и  $n/n_0 = 0,6$ , достигали 4 кэв, а максимальные — 11 кэв. Из кривых 1–3 рис. 1, а видно, что при больших  $E_0$  ток возникает при меньших концентрациях и увеличивается быстрее с ростом концентрации.

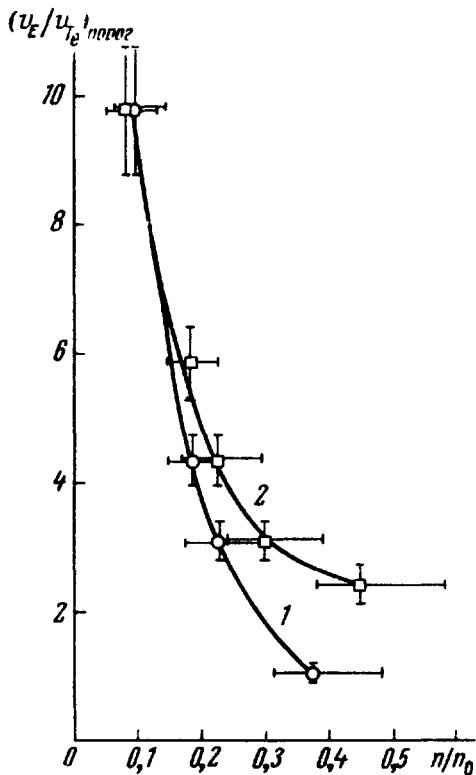


Рис. 2. Зависимость пороговых значений  $v_E/v_T$  от величины относительной концентрации  $n/n_0$ : 1 — для начала поглощения СВЧ мощности, 2 — для начала тока ускоренных электронов

По данным рис. 1 была построена зависимость пороговой напряженности поля от концентрации плазмы в безразмерном виде (рис. 2):  $(v_E/v_T)_{\text{погр}} = f(n/n_0)$ , где  $v_{T_{\text{погр}}} = eE_0/m\omega_0$ ,  $v_{T_{\text{погр}}} = \sqrt{kT_e/m}$  — тепловая скорость электронов. Зависимость строилась как для начала поглощения (рис. 1, а), так и для начала тока ускоренных электронов (рис. 1, б). Имеющееся расхождение объясняется только некорректностью наблюдения порогов тока ускоренных электронов при наличии высоких отрицательных значений потенциала  $U_k$ . Таким образом, зависимость пороговых полей от плотности плазмы, определенная по началу поглоще-

ния и "нагрева" электронов качественно такая же, как и определенная по распаду плазмы [3], однако величины пороговых полей оказались на порядок выше в данной геометрии эксперимента.

Угловая расходимость пучка ускоренных электронов по отношению к направлению поля  $E$  не превышала  $\pm 7^\circ$ . Таким образом, вследствие анизотропного характера "нагрева" электронов, их давление приходилось на стенки волновода, а не на свободные границы плазмы. Уход ускоренных электронов не должен был заряжать плазму вследствие их замены вторичными электронами из стенок волновода. Это объясняет отсутствие распада плазмы.

Для  $n = 0,6 n_o$  по данным рис. 1, б была найдена зависимость средней эффективной частоты столкновений  $\bar{\nu}_{\text{эфф}}$ , нормированной к  $\omega_o$ , от напряженности поля  $E_o$  (рис. 3). При  $E_o \sim 3 \text{ кВ/см}$ ,  $\bar{\nu}_{\text{эфф}}/\omega_o \sim 1$ . Оценка частоты столкновений электронов со стенками волновода с энергией  $(W_{\text{вз}})_{\text{макс}}$  дала на два порядка меньшее значение, чем  $\bar{\nu}_{\text{эфф}}$ .

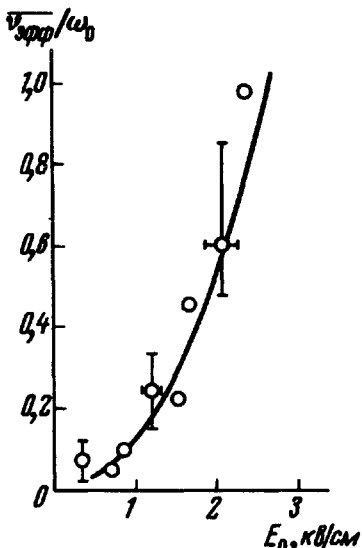


Рис. 3. Зависимость относительных значений, средней эффективной частоты столкновений  $\bar{\nu}_{\text{эфф}}$  от величины напряженности поля  $E_o$ , полученная для  $n/n_o = 0,6$

**Выходы:** 1) При аномальном поглощении СВЧ энергии в изотропной плазме наблюдается и аномальный "нагрев" электронов, причем "нагрев" носит анизотропный характер, он максимальен в направлении  $E$ .

2) Пороги обоих явлений одинаковы и поникаются с приближением концентрации к  $n_o$ , что находится в качественном согласии с теорией параметрической неустойчивости [5].

3) Аномальная диссиляция характеризуется высокими значениями  $\bar{\nu}_{\text{эфф}}$ , которые не менее чем на один – два порядка выше частоты столкновений электронов со стенками и на три – четыре порядка выше  $\nu_{ei}$ . С ростом  $E_o$   $\bar{\nu}_{\text{эфф}}$  изменяется как  $E_o^2$  и возможно даже быстрее.

## Литература

- [ 1 ] Г.М.Батанов, К.А.Сарксян, В.А.Силин. Препринт ФИАН №7, 1968.
  - [ 2 ] И.Р.Геккер, О.В.Сизухин. Письма в ЖЭТФ, 9, 508, 1969.
  - [ 3 ] К.Ф.Сергейчев. Доклады 9-ой Междунар. конф. по явл. в ионизованных газах. Бухарест, 1969 г.; Препринт ФИАН №61, 1969 г.
  - [ 4 ] В.П.Силин. ЖЭТФ, 48, 1679, 1965.
  - [ 5 ] Н.Е.Андреев, А.Ю.Кирий, В.П.Силин. ЖЭТФ, 57, 1028, 1969.
  - [ 6 ] В.П.Силин. ЖЭТФ, 57, 183, 1969.
  - [ 7 ] В.В.Пустовалов, В.П.Силин. ЖЭТФ, 59, 2215, 1970.
-